

DOTT. GEOL. THOMAS VERONESE

Via Roma, 10

44021 CODIGORO (Ferrara)

Tel e fax. 0533 / 713798 cell. 335-5240380

E-mail: thomas.veronese@tin.it

RELAZIONE DI INTEGRAZIONE VOLONTARIA SECONDO D.G.R. 2193/2015

Comune Ferrara

Relazione sismica integrativa conforme alla D.G.R. 2193 del 2015 per lo studio dei terreni di fondazione del sito su cui sorge il "Palazzo Ex Enel" sito in via Borgoricco a Ferrara(Fe) di corredo al PUA (Rif. Scheda POC 1ACS08-01); riferimenti catastali foglio 385 mappale 189 del comune di Ferrara (Fe).



Committente: MELIOR Valorizzazione Immobili s.r.l.

Sede in : via G. Negri n.10 20123 Milano (Mi)

S.S.T. SETTORE GEOLOGIA E AMBIENTE

Geotecnica; Studio terreni di fondazione; Stabilità dei versanti; Rilevamento geologico; Rilievi topografici; Geofisica - Contributi allo Studio di Impatto Ambientale; Assistenza alle pubbliche amministrazioni negli studi di fattibilità e di realizzazione dei P.R.G., cimiteri, discariche, piani attività estrattive, studi di acquiferi per la tutela e per l'utilizzo di risorse idriche sotterranee; subirrigazioni.





INDICE:

1. PREMESSA	2
NORMATIVA E RACCOMANDAZIONI DI RIFERIMENTO	
2. DECRETO DELLA GIUNTA DELLA REGIONE EMILIA ROMAGNA N. 2193/2015	4
3. VERIFICA DELLA RESISTENZA ALLA LIQUEFAZIONE DELLE SABBIE (D.G.R. 2193/2015)	7
3.1. CALCOLO CEDIMENTI POSTSISMICI TERRENI GRANULARI (D.G.R. 2193/2015) 3.2. CALCOLO CEDIMENTI POSTSISMICI NEI TERRENI COESIVI (D.G.R. 2193/2015)	
4. CONCLUSIONI	22

1. PREMESSA

Su incarico della ditta Melior Valorizzazioni Immobili srl, con sede in via G. Negri n. 10 a Ferrara (Fe), si redige una integrazione sismica volontaria, conforme al D.G.R. 2193 del 2015, per lo studio dei terreni di fondazione del sito su cui sorge il "Palazzo Ex Enel" sito in via Borgoricco a Ferrara(Fe) di corredo al PUA (Rif. Scheda POC 1ACS08-01); riferimenti catastali foglio 385 mappale 189 del comune di Ferrara (Fe).

In FIGURA 1.1 si riporta l'ubicazione dell'area di intervento.





FIGURA 1.1 – Planimetria dell'area di intervento a Ferrara

Normativa e Raccomandazioni di riferimento

- Decreto del Ministero delle Infrastrutture 14 gennaio 2008 "Approvazione delle nuove norme tecniche per le costruzioni", pubblicato sulla G.U. n. 29 del 4 febbraio 2008, suppl. ord. n. 30, che entrano in vigore il 6 marzo 2008.
 - Circolare Applicativa n° 617 del 02/02/2009 alle NTC/2008.
- Delibera Assemblea Legislativa n°112/2007 della Regione Emilia Romagna "Atto di Indirizzo e coordinamento tecnico" per gli studi di microzonizzazione sismica.
- <u>Decreto della Giunta della Regione Emilia Romagna n. 2193/2015 "Approvazione aggiornamento dell'atto di coordinamento tecnico denominato "Indirizzi per gli studi di microzonazione sismica in Emilia Romagna per la pianificazione territoriale e urbanistica", di cui alla deliberazione dell'assemblea legislativa 2 Maggio 2007, N. 112.</u>
 - A.G.I. (Associazione Geotecnica Italiana)
 - "Raccomandazioni sulla programmazione ed esecuzione delle indagini geotecniche (giugno 1977).
 - A.G.I. (Associazione Geotecnica Italiana)
 - "Raccomandazioni sui pali di fondazione (dicembre 1984)".
 - A.G.I. (Associazione Geotecnica Italiana)
 - "Aspetti geotecnici nella progettazione in zona sismica (Edizione Provvisoria, marzo 2005)".
 - C.N.R. UNI Ente Nazionale Italiano di Unificazione.
 - Eurocode EC-7: Geotechnics, design dicembre 1987.
 - C.N.R. UNI Ente Nazionale Italiano di Unificazione.
 - Eurocode EC-8: Design provisions for earthquake resistance of structures ottobre 1994.

2. DECRETO DELLA GIUNTA DELLA REGIONE EMILIA ROMAGNA N. 2193/2015

La presente relazione di integrazione sismica volontaria redatta ai sensi del decreto di Giunta Regionale n. 2193/2015 andrà allegata alla relazione di modellazione geologica e geotecnica, già presentata.

A tal proposito in FIGURA 2.1 viene mostrata la griglia delle accelerazioni al badrock secondo il nuovo D.G.R., mentre in FIGURA 2.2 sono visibili i colori che indicano i settori in cui è stato suddiviso il territorio regionale; il sito allo studio è collocato in PIANURA 2.



FIGURA 2.1 - Griglia delle accelerazioni al badrock

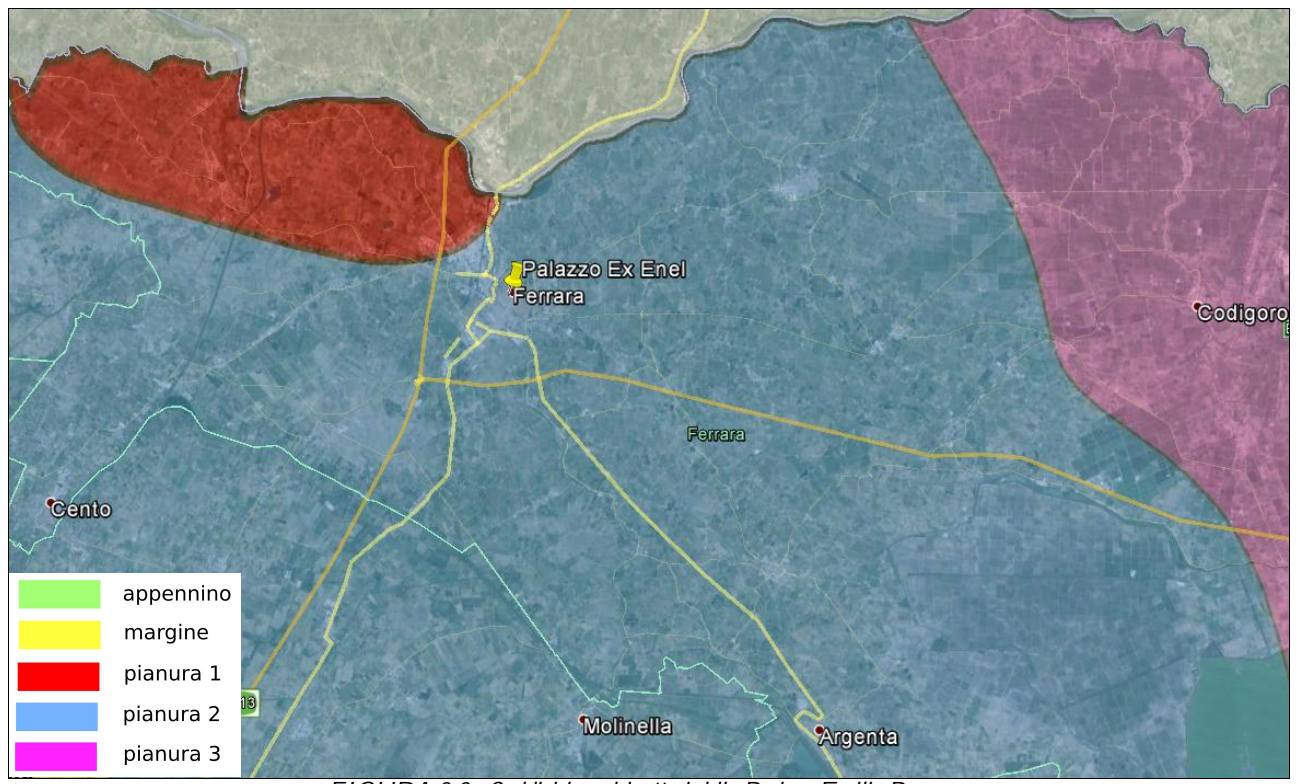


FIGURA 2.2 - Suddivisione dei settori della Regione Emilia Romagna

Nella relazione di modellazione geologica e geotecnica, il valore di Vs_{30} era stato calcolato attraverso misure dirette, attraverso le 2 prove penetrometriche statiche con punta elettrica e sismocono SCPTU1 e SCPTU2 con *rif.* U10-12, spinte rispettivamente fino alla profondità di -30,00 m da p.c. e -32,70 m da p.c..

In FIGURA 2.3 è riportato uno stralcio catastale con l'ubicazione delle prove penetrometriche statiche con punta elettrica e sismocono SCPTU1 e SCPTU2 con *rif. U10-12.*

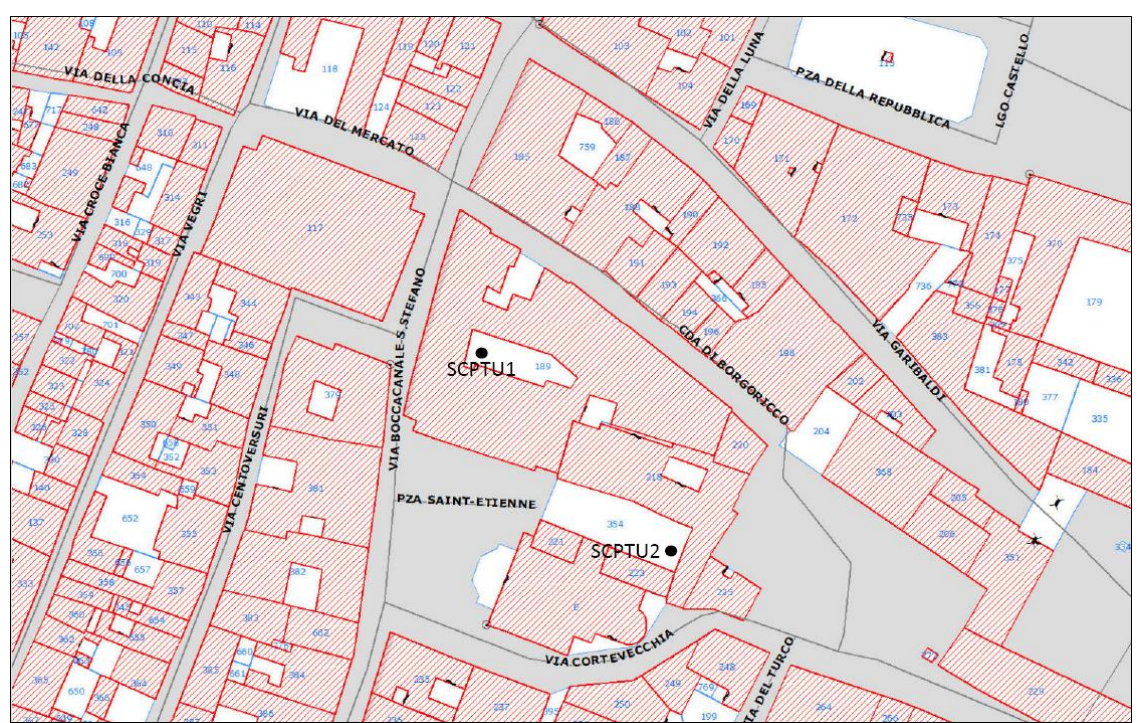


FIGURA 2.3 – Stralcio catastale della provincia di Ferrara con ubicazione prove

In data 20/09/2012 e 05/10/2012 sono state eseguite le 2 prove penetrometriche statiche con punta elettrica e sismocono SCPTU1 e SCPTU2 per la misurazione della velocità delle onde sismiche fino alla profondità di -30,00 m da p.c.

In base ai tempi di arrivo conoscendo la distanza tra la sorgente ed il ricevitore si può calcolare la velocità delle onde sismiche ed in particolare delle onde di taglio fino alla profondità di 30 metri (V_{S30}).

II valore di Vs₃₀ risultante dalla lettura dei tempi di arrivo delle onde S alla profondità di 30,00 m da p.c. è di 185 m/s per la SCPTU1 e di 199 m/s per la SCPTU2 e quindi la Categoria di suolo di fondazione è C.

$Vs_{30} = 185 \text{ m/s}$	SCPTU1 - Categoria di suolo C
$Vs_{30} = 199 \text{ m/s}$	SCPTU2 - Categoria di suolo C

Il sito allo studio è collocato dunque in PIANURA 2 e per Vs_{30} comprese tra 175m/sec e 225 m/s (nel nostro caso per la SCPTU1 è 185 m/sec e per la SCPTU2 è 199 m/s) la classificazione del DGR 2193/2015 prevede un fattore di amplificazione F.A. per la P.G.A. pari a 1,7 (FUGURA 2.4).

PIANURA 2: settore di pianura con sedimenti alluvionali prevalentemente fini, alternanze di limi, argille e sabbie, caratterizzato dalla presenza di una importante discontinuità stratigrafica responsabile di un significativo contrasto di impedenza a circa 100 m da p.c. e dal tetto del substrato rigido a circa 150 m da p.c.;

$Vs_{30}(m/s) \rightarrow$	150	200	250	300	350	400
F.A. PGA	1.7	1.7	1.7	1.6	1.5	1.5
F.A. SI1	2.0	2.0	1.9	1.8	1.7	1.6
F.A. SI2	3.1	3.0	2.7	2.4	2.1	2.0
F.A. SI3	3.6	3.3	2.9	2.5	2.2	2.0

Pianura 2. Tabella dei Fattori di Amplificazione PGA, SI1, SI2 e SI3.

SI1: $0.1s \le T_0 \le 0.5s$

SI2: $0.5s \le T_0 \le 1.0s$

SI3 : $0.5s \le T_0 \le 1.5s$

FIGURA 2.4 - F.A. Pianura 2

Il fattore di amplificazione sismica F.A. espresso con il rapporto tra la PGA in superficie e quella al bedrock PGA₀ è pari a F.A.=1,7.

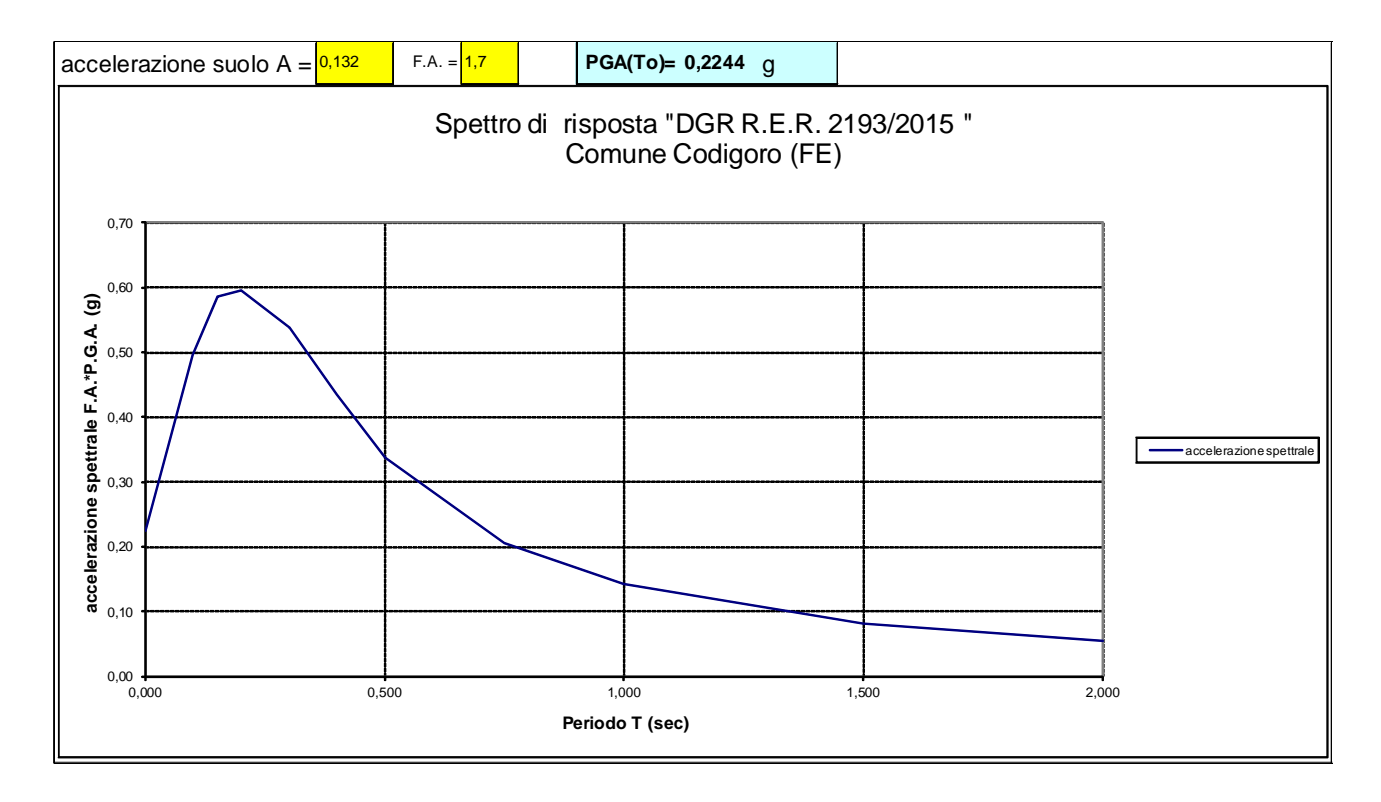
Il fattore di amplificazione sismica F.A. espressa in funzione del rapporto tra l'intensità spettrale in superficie SI e quella al bedrock sismico SI_0 è pari a:

F.A.=2.0 nel periodo compreso tra 0,1s e 0,5s.

F.A.=3.0 nel periodo compreso tra 0,5s e 1,0s.

F.A.=3.3 nel periodo compreso tra 0,5s e 1,5s.

Lo spettro che si può ricavare da quello normalizzato fornito dal D.G.R. è il seguente:



Le accelerazioni in superficie derivate dal D.G.R. 2193/2015, non coincidono con quelle calcolate con le N.T.C. del 2008, per via del diverso fattore di amplificazione; il calcolo dell'indice del potenziale di liquefazione viene rifatto secondo quanto prescritto dalla nuova delibera di giunta regionale.

Secondo N.T.C. 2008	Secondo D.G.R. 2193/2015
$P.G.A. = 0.132g \times 1.49 \approx 0.20$	P.G.A. = $0.132g \times 1.70 \approx 0.22$

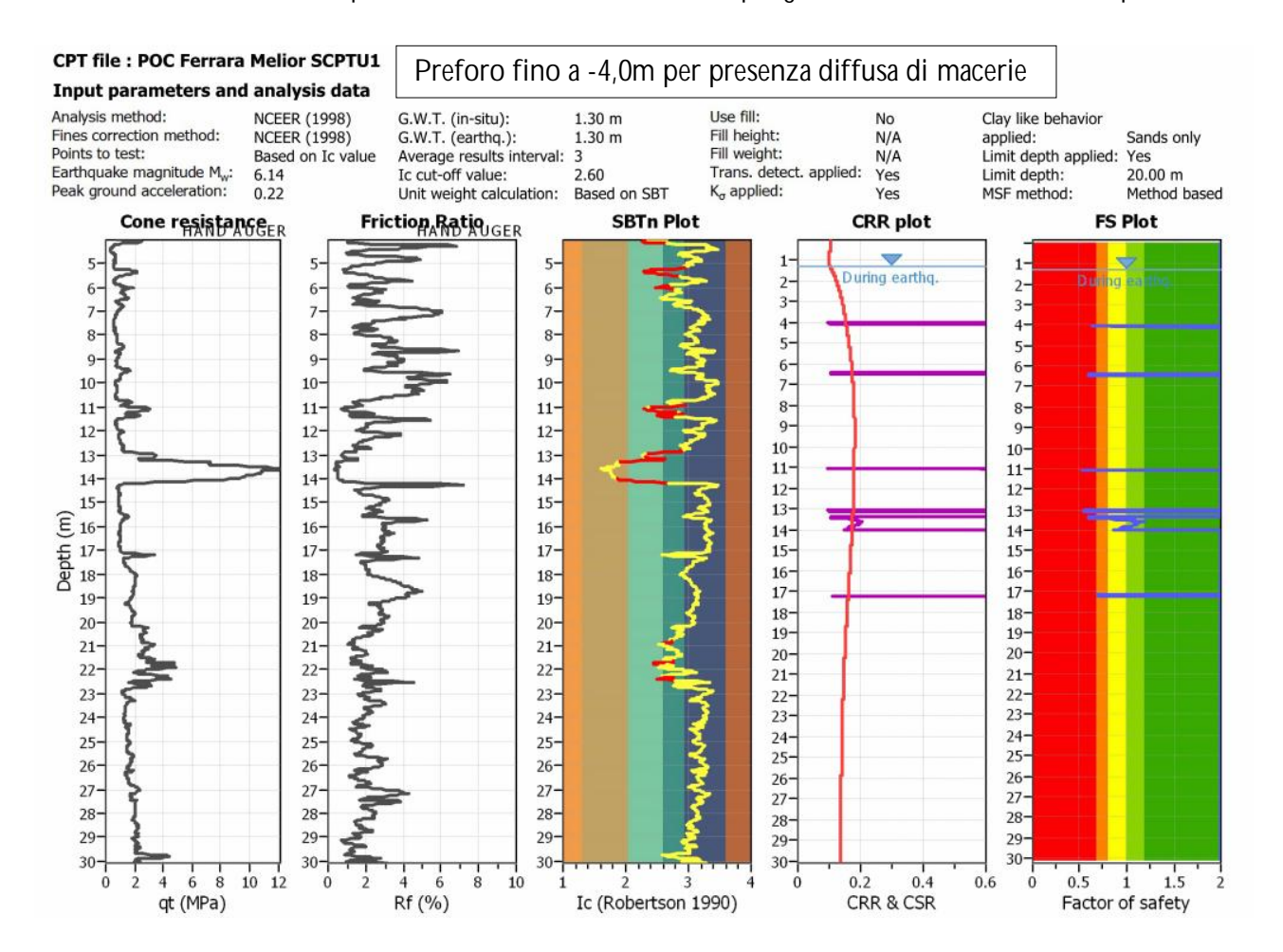
3. VERIFICA DELLA RESISTENZA ALLA LIQUEFAZIONE DELLE SABBIE (D.G.R. 2193/2015)

Per la verifica della liquefazione delle sabbie è stato utilizzato un software di calcolo che analizzando ogni strato da 2 cm individuato dalla prova CPTU, ne verifica la potenzialità di liquefazione.

Per la verifica della liquefazione delle sabbie si è fatto riferimento alle prove penetrometriche statiche con punta elettrica e sismocono SCPTU1 e SCPTU2 con *rif. U10-12*, spinte rispettivamente fino alla profondità di 30,00 m da p.c. e -32,70 m da p.c..

Per questo calcolo si è considerata una magnitudo di 6,14 e un'accelerazione di progetto P.G.A. in superficie di 0,22g secondo il D.G.R. 2193 del 2015. Oltre a questa prima valutazione si farà anche quella più rigorosa che tiene conto dei profili di CSR ricavati dalla analisi di risposta sismica locale.

Utilizzando i dati di input (D.M. 14 gennaio 2008) visualizzati in FIGURA 3.1, se ne deduce che nell'area di studio il fenomeno della liquefazione è un effetto di sito atteso per gli strati sabbiosi rilevati con le prove.



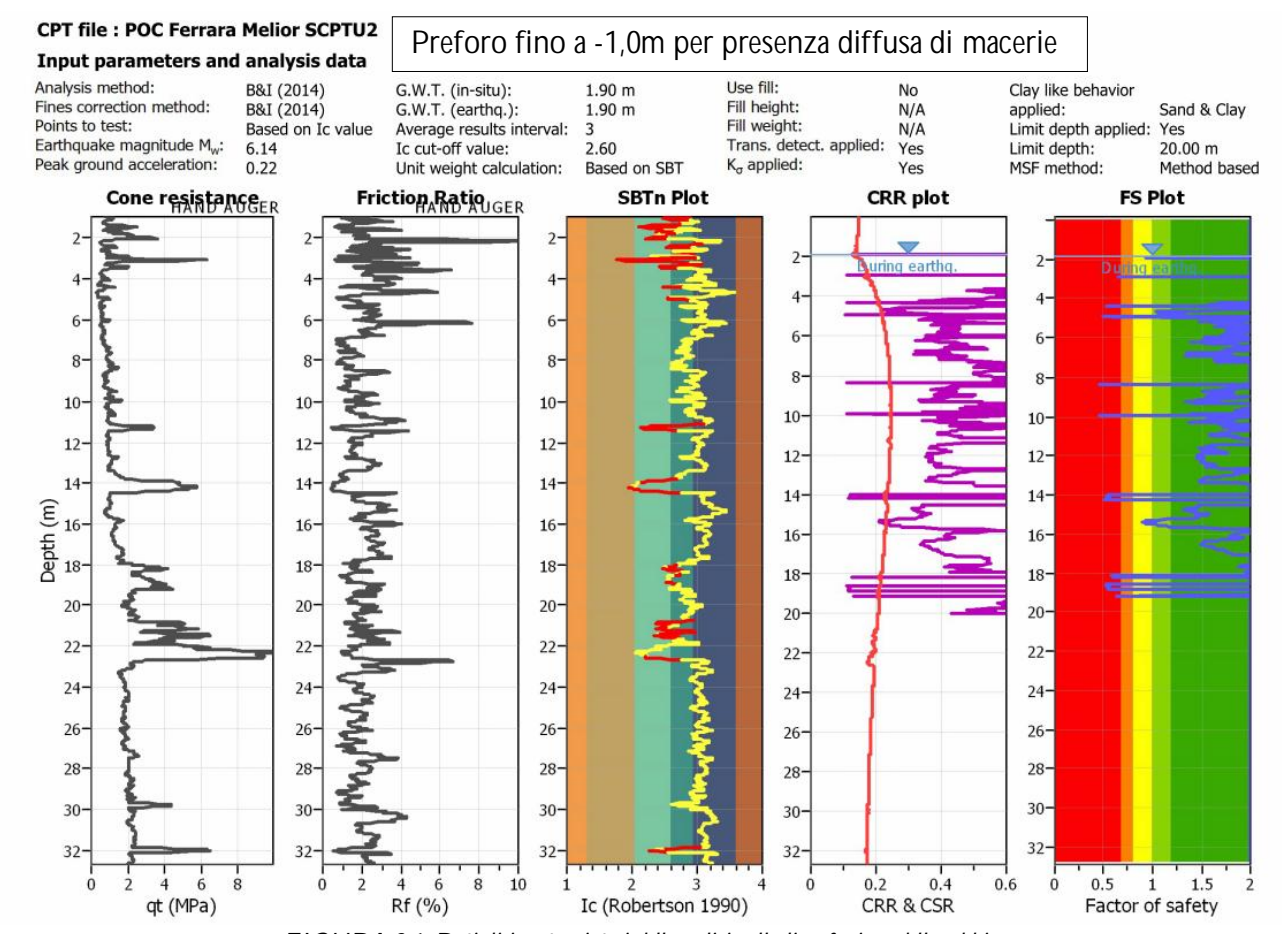


FIGURA 3.1: Dati di input e sintesi dell'analisi sulla liquefazione delle sabbie.

Per quantificare il tipo di ripercussioni sulle strutture costruite in un determinato sito, dal punto di vista ingegneristico, si ricorre al calcolo dell'indice del potenziale di liquefazione, I_L , definito dalla seguente relazione:

$$I_L = \int_0^{20} F(z)w(z)dz$$

in cui z è la profondità dal piano di campagna in metri e w(z)=10-0.5z

Ad una quota z il fattore F(z)=F vale:

$$F = 1 - F_L \text{ se } F_L \le 1.2$$

$$F = 0 \text{ se } F_1 > 1.2$$

dove F_L è il fattore di sicurezza alla liquefazione alla quota considerata.

Con il software si calcola nei primi 20,00 m da p.c. per le 2 CPTU il valore del potenziale di liquefazione per tutti gli strati incoerenti (Metodo Iwasaki).

In base alle Tabelle 3.1 e 3.2 <u>l'indice del potenziale di liquefazione risulta *BASSO* per le due prove SCPTU1 e SCPTU2.</u>

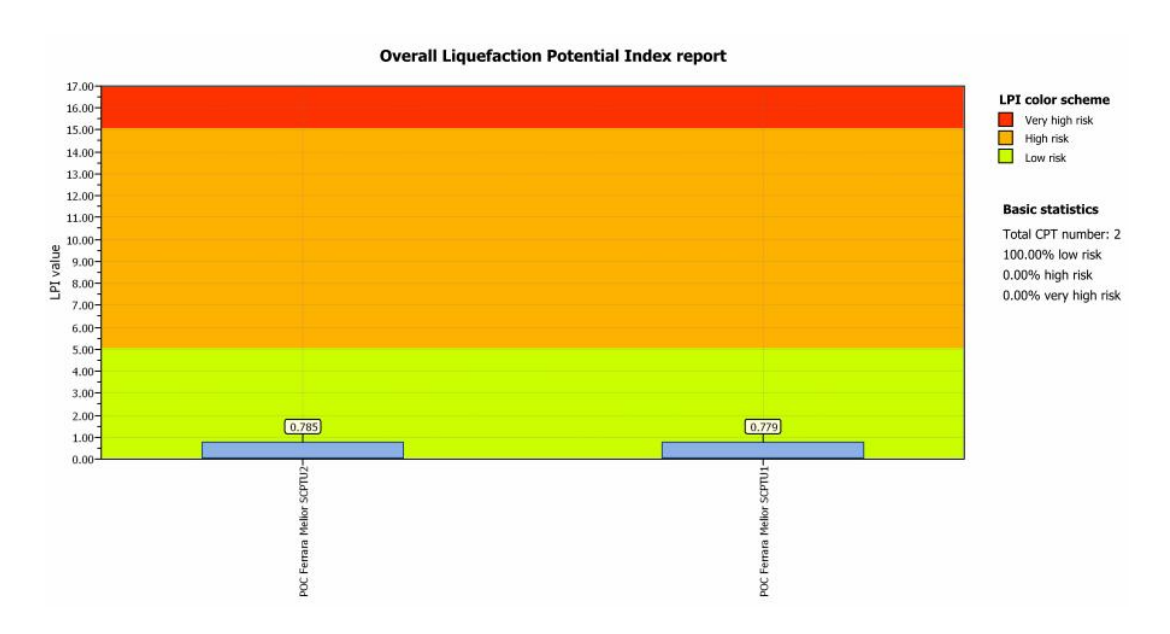
Per questo calcolo è stata applicata la teoria del taglio delle fasce di transizione.

Potenziale Liquefazione I _{PL}	Classificazione
$I_{PL} = 0$	Non liquefacibile
$0 < I_{PL} \le 2$	Basso
2 < I _{PL} ≤ 5	Moderato
5 < I _{PL} ≤ 15	Alto
I _{PL} ≥15	Molto Alto

Tabella 3.1 – Classificazione indice potenziale liquefazione

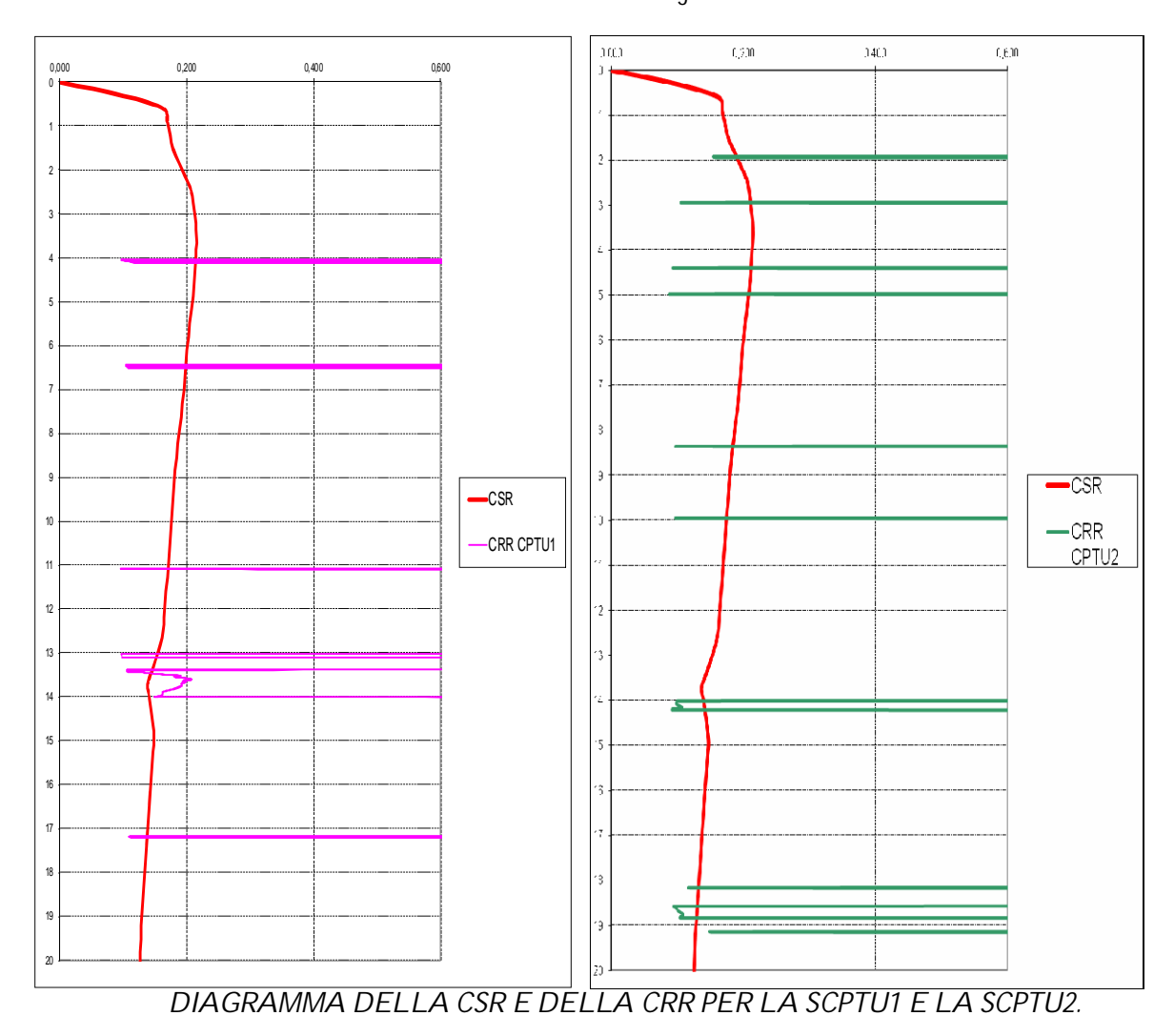
CPTU	Potenziale Liquefazione I _{PL}
SCPTU1	0,78
SCPTU2	0,79

Tabella 3.2 – Indice potenziale liquefazione calcolato per le CPTU



Occorre però fare riferimento soprattutto all'analisi della risposta sismica locale, con la quale si ottiene il profilo delle accelerazioni di picco ad ogni profondità. Si costruisce così la curva della CSR, e la sia diagramma con quella della CRR.

Nella relazione di modellazione geologica e geotecnica infatti era già stato sviluppato il calcolo della liquefazione delle sabbie attraverso le accelerazioni ricavate da analisi di risposta sismica locale. Dall'analisi di risposta sismica locale ottenuta era stata ricavata direttamente la curva della CSR (sollecitazione di taglio massima indotta dal sisma) in funzione del profilo di PGA. Si è così ottenuto il grafico della CRR (resistenza del deposito agli sforzi di taglio ciclico) che, sovrapposto con il grafico della CSR mostra le porzioni di terreno che hanno il fattore di resistenza alla liquefazione inferiore ad 1.



Si può concludere che nel sito la liquefazione delle sabbie non è un effetti di sito significativo atteso, in quanto mancano proprio le cause predisponenti, ovvero significativi spessori di sabbie.

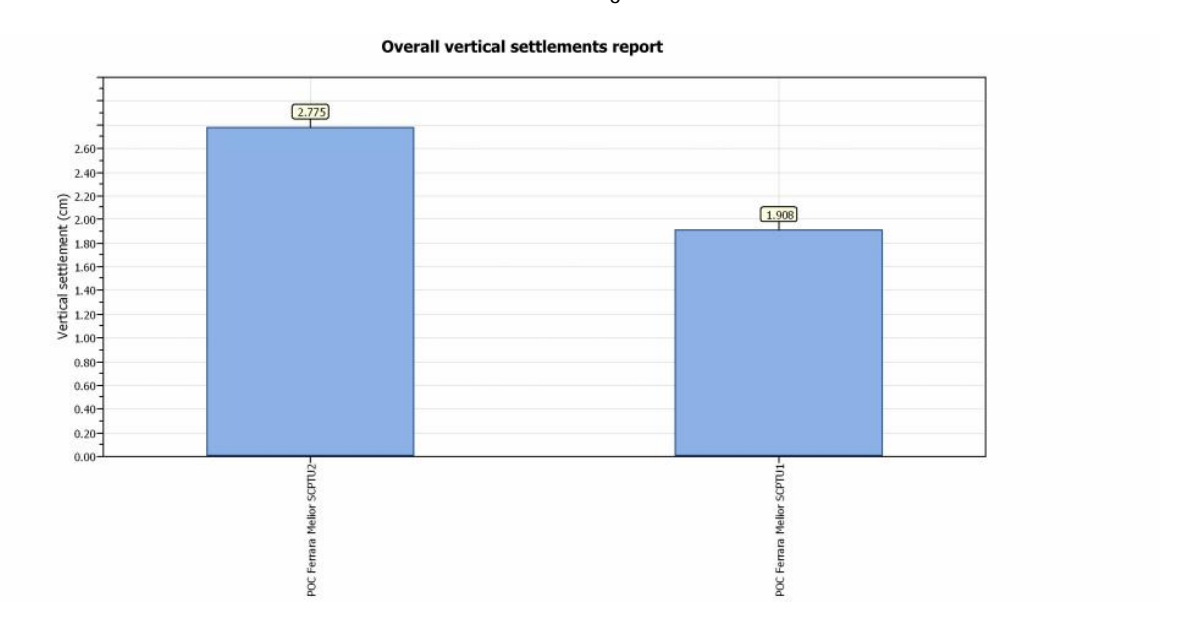
3.1. CALCOLO CEDIMENTI POSTSISMICI TERRENI GRANULARI (D.G.R. 2193/2015)

Dell'elaborazione completa dei cedimenti post sismici si riporta solo il risultato finale; sono stati stimati i cedimenti postsismici nei banchi sabbiosi rilevati con le 2 prove penetrometriche statiche SCPTU1 e SCPTU2 spinte rispettivamente fino alla profondità di -30,00 m da p.c. e -32,70 m da p.c., con *rif. U10-12*.

Dalle elaborazioni informatiche, si ricava che con una Magnitudo di 6,14 e accelerazione P.G.A. di 0,22g, solo alcuni dei livelli ha il fattore di resistenza alla liquefazione inferiore a 1,20 (D.G.R. 2193/2015), determinando cedimenti post sismici pari a 1,91 cm per la SCPTU1 e 2,77 cm per la SCPTU2 (Tabella 3.3).

CPTU	Cedimenti postsismici (cm)
SCPTU1	1,91
SCPTU2	2,77

Tabella 3.3 – Cedimenti post-sismici



Anche l'entità dei cedimenti postsismici per addensamento dei terreni granulari indica che la liquefazione delle sabbie non è un effetto di sito atteso in questo contesto stratigrafico.

3.2. CALCOLO CEDIMENTI POSTSISMICI NEI TERRENI COESIVI (D.G.R. 2193/2015)

Per il decreto di giunta regionale 2193/2015, nei depositi coesivi soffici (cu \leq 70 kPa; Vs < 180 m/s) e plastici (Ip \geq 30%) in cui si prevede un incremento delle pressioni interstiziali $\frac{\Delta u}{\sigma'_O} \geq 0.3$ durante l'azione sismica di riferimento deve essere stimato il cedimento di riconsolidazione conseguente alla dissipazione delle pressioni interstiziali accumulatesi durante il terremoto.

Per la stima del rapporto di sovrapressione interstiziale può essere utilizzata la seguente relazione empirica (Matsui et al., 1980):

$$r_u = \frac{\Delta u}{\sigma'_0} = \beta \cdot \left[\log \frac{\gamma_{\text{max}}}{\gamma_{\nu}} \right]$$

dove:

 $\beta \approx 0.45$ (coefficiente sperimentale);

$$\gamma_{\max} = \frac{a_{\max}}{g} \cdot \sigma_{v0} \cdot r_d \cdot \frac{1}{G} \text{ (deformazione di taglio massima in semplice ampiezza indotta dal terremoto);}$$

G è il modulo di taglio corrispondente al livello de formativo $\gamma_{\rm max}$, che può essere determinato per via iterativa, noto il valore di rigidezza iniziale $G_0 = \rho \cdot V_s^2$, utilizzando la legge di variazione G/G $_0$ ottenuta con prove dinamiche o di laboratorio o, in modo approssimato, desunta da curve di letteratura per i terreni con proprietà simili (FIGURA 3.2).

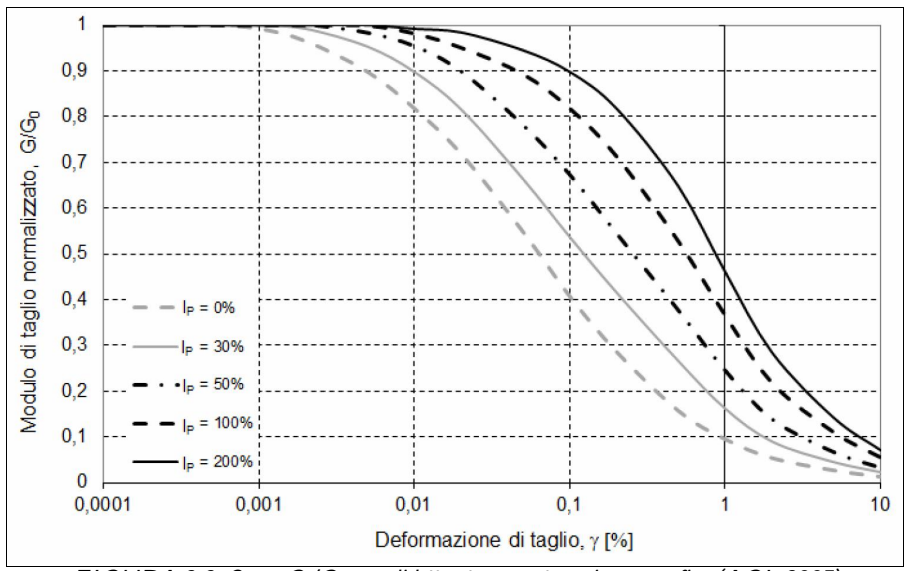


FIGURA 3.2: Curve G/G $_0$ - $_y$ di letteratura per terreni a grana fine (AGI, 2005)

 $\gamma_{_{V}}$ è la deformazione di soglia volumetrica, determinabile con prove dinamiche di laboratorio, o in prima approssimazione con la relazione empirica: $\gamma_{_{V}} = A \cdot (OCR - 1) + B$ (Matsui et al., 1980) in cui OCR è il rapporto di sovraconsolidazione e A e B sono coefficienti sperimentali che, in assenza di determinazione diretta, possono essere stimati in funzione dell'indice di plasticità I_{p} (Tabella 3.4)

Ip (%)	А	В
20	0,0004	0,0006
40	0,0012	0,0011
55	0,0025	0,0012

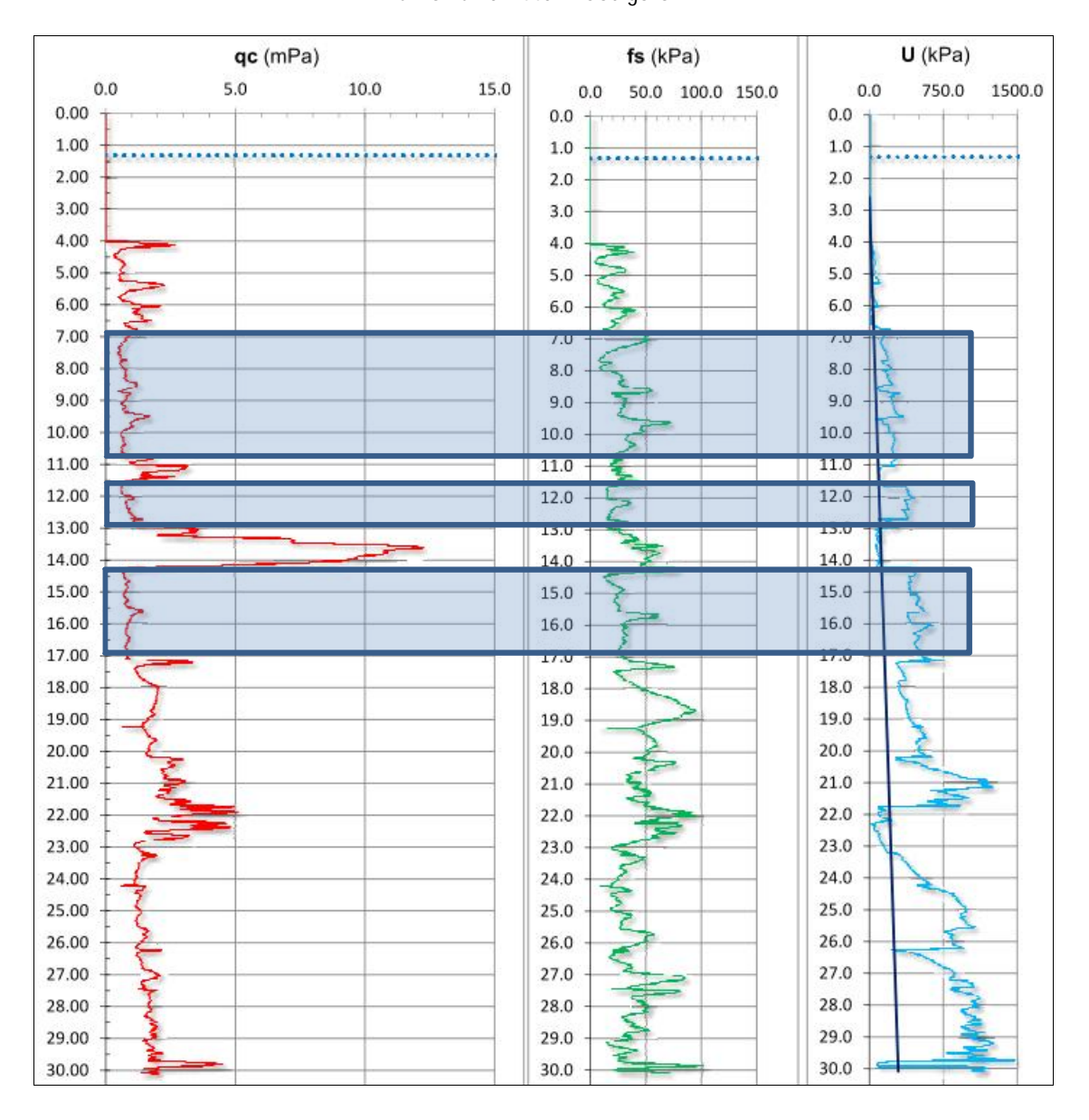
Tabella 3.4 – Valori suggeriti per i coefficienti A e B

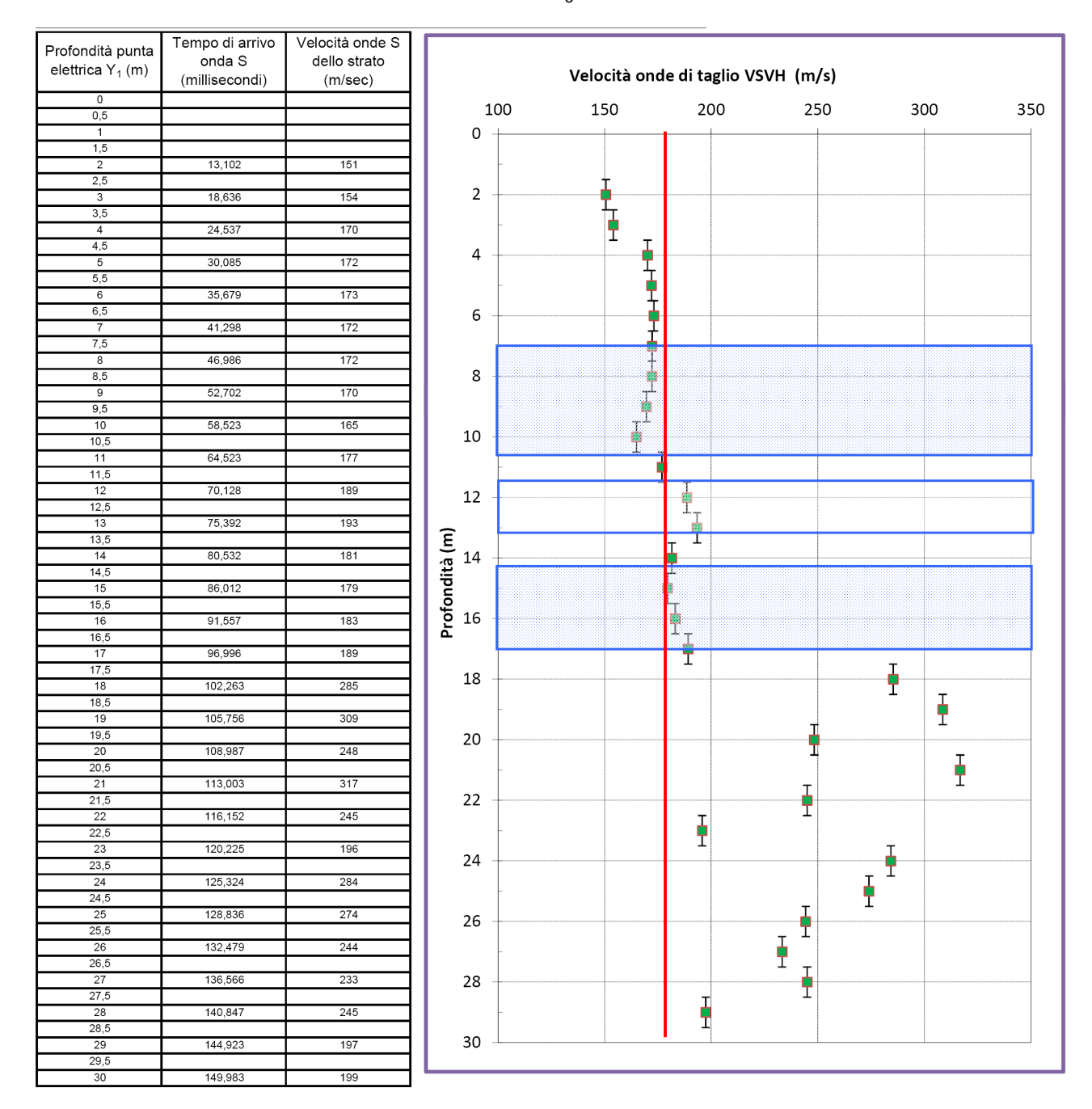
Per il calcolo dei cedimenti post-sismici per terreni coesivi soffici, si è fatto ricorso alla prova penetrometrica statica con punta elettrica e sismocono SCPTU1 con *rif. U10-12*, dato che ricade in corrispondenza del carotaggio S1, che mostra:

- Strato 1: terreni coesivi moderatamente consistenti da -7,00 m da p.c. fino a -10,80 m da p.c. con valori medi di coesione non drenata di Cu = 0,38 Kg/cm²; Vs media 146m/sec.
- Strato 2: terreni coesivi moderatamente consistenti da -11,70 m da p.c. fino a -13,00 m da p.c. con valori medi di coesione non drenata di Cu = 0,40 Kg/cm²; Vs media 170m/sec.
- Strato 3: terreni coesivi moderatamente consistenti da -14,2m a -17,0m, dotato di coesione non drenata di Cu=0,39kg/cm²; Vs media 173m/sec.

Il campione S1SH2, prelevato tra -15,0m e -15,6m dal p.c. sembra il più rappresentativo dei tre strati. Il campione S1SH1 prelevato tra -7,50m e tra -8,10m non sembra rappresentativo, poiché dalla descrizione del carotaggio, si evince che abbia interessato uno strato limitato piuttosto limoso, rilevando una bassa plasticità (IP=18%).

I dati del carotaggio indicano che sopra la quota di -7,0m si è in presenza di terreni con importanti frazioni limose, quindi a bassa plasticità; essi vengono esclusi dal calcolo.

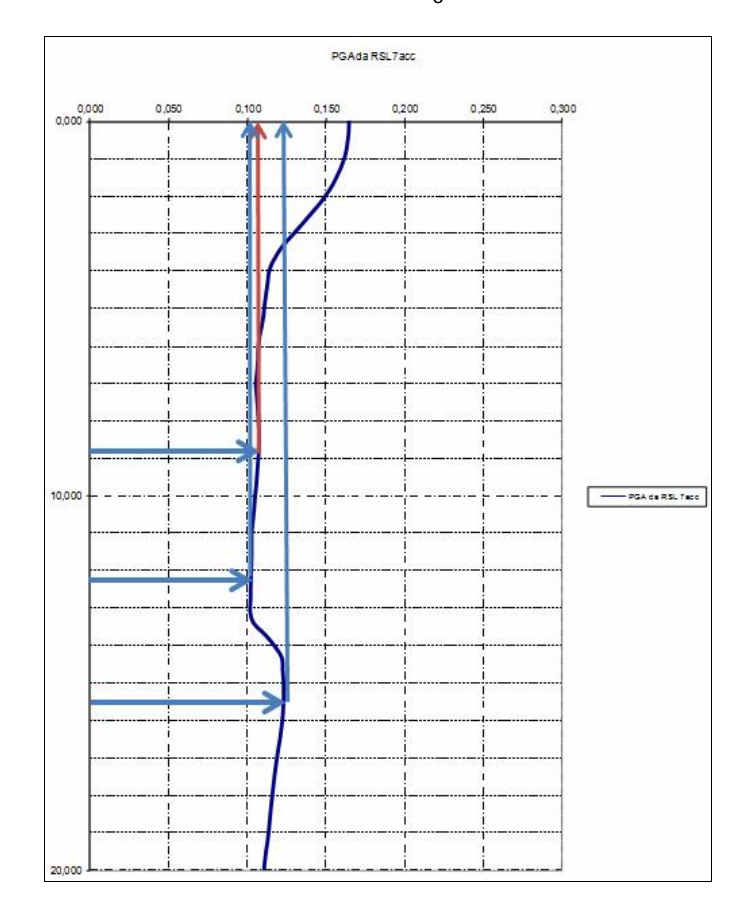




Per lo strato 3 analizzato in laboratorio si assume indice plastico pari a 52%, per lo strato 1 e lo strato 2, non analizzati direttamente, si assume un indice plastico minimo pari a 30%.

Falda freatica	1,3	m da p.c.	Peso volun	ne medio	1,7	1,7 t/m ³					
N° strato	Strato tetto	strato letto	Spessore	metà strato	Vs	Y sat	Cu	Go	Go	Go	OCR
	(m)	(m)	(m)		m/s	t/m ³	kPa	KPa	Мра	Gpa	
1	7	10,8	3,8	8,9	146	1,85	38	4019,837	40,19837	0,040198	2
2	11,7	13	1,3	12,35	170	1,66	40	47974	479,74	0,47974	2
3	14,2	17	2,8	15,6	173	1,66	39	5064,438	50,64438	0,050644	2

Le accelerazioni a metà strato vengono lette sulla curva del profilo di PGA ricavato dalla RSL:



In questo caso, con la PGA ricavata dal profilo dell'accelerazione di picco, derivata dall'analisi della risposta sismica locale, rd verrà assunto uguale all'unità.

Per via iterativa, ora si ricava per ognuno dei tre strati il valore di γ_{max} e di G, affinché venga verificata l'equazione:

$$\gamma_{\max} = \frac{a_{\max}}{g} \cdot \sigma_{v0} \cdot r_d \cdot \frac{1}{G}$$

Il valore di Go è noto, conoscendo il valore di Vs ed il peso di volume.

Si procede per via iterativa, cercando quel valore di G che produce quel valore di γ_{max} , che a sua volta applicato alla curva di decadimento G/Go- γ_{max} , fornisce lo stesso valore iniziale di G.

STRATO 1

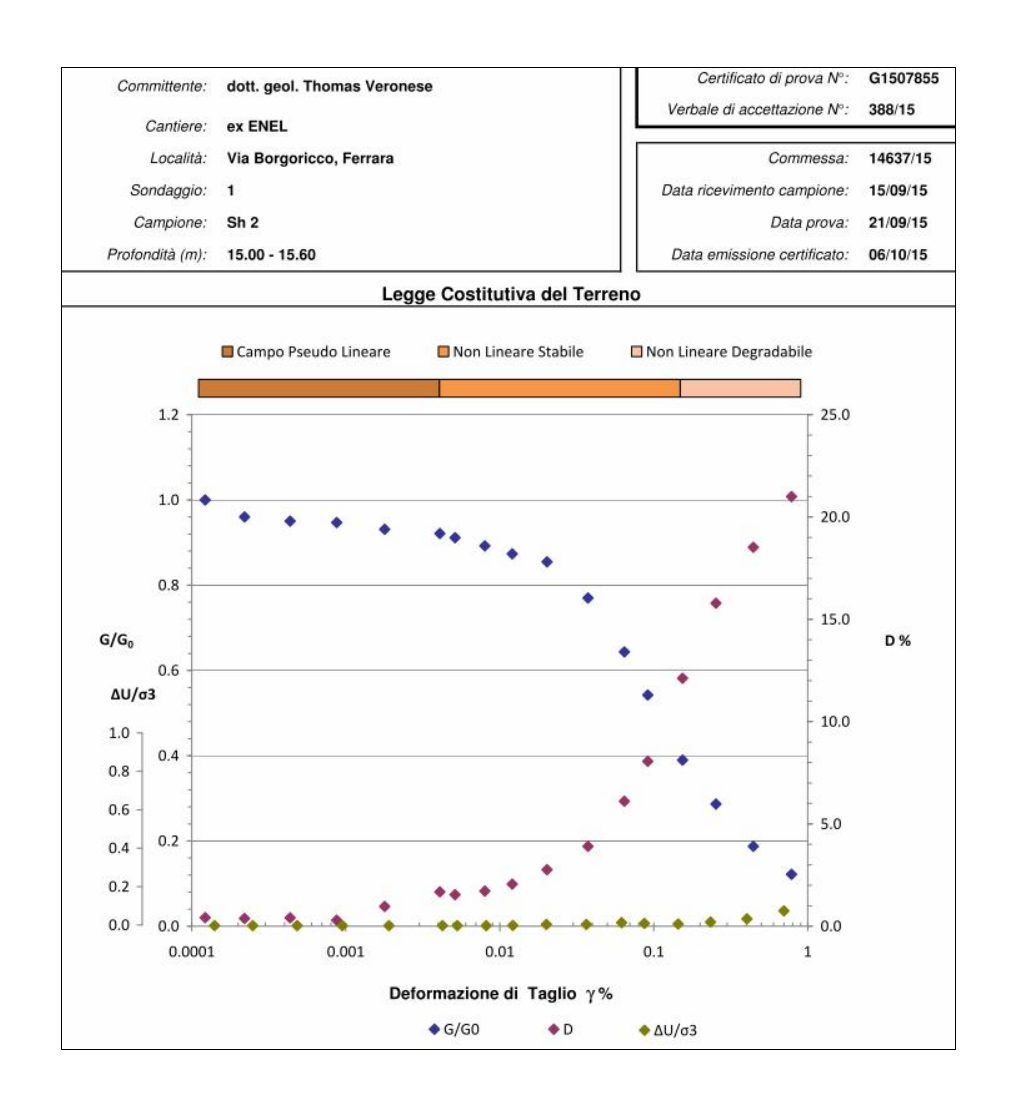
						Ymax	0,000679
a _{maxs}	r d	σ _{ν 0}	σ _{ν 0}	σ_{v0}	σ_{v0}	y _{max}	y _{max}
		t/m ²	Мра	t/m ²	Мра		utilizzato
0,108	1	22,7	0,232	15,1	0,15423	0,000679	0,000679

STRATO 2

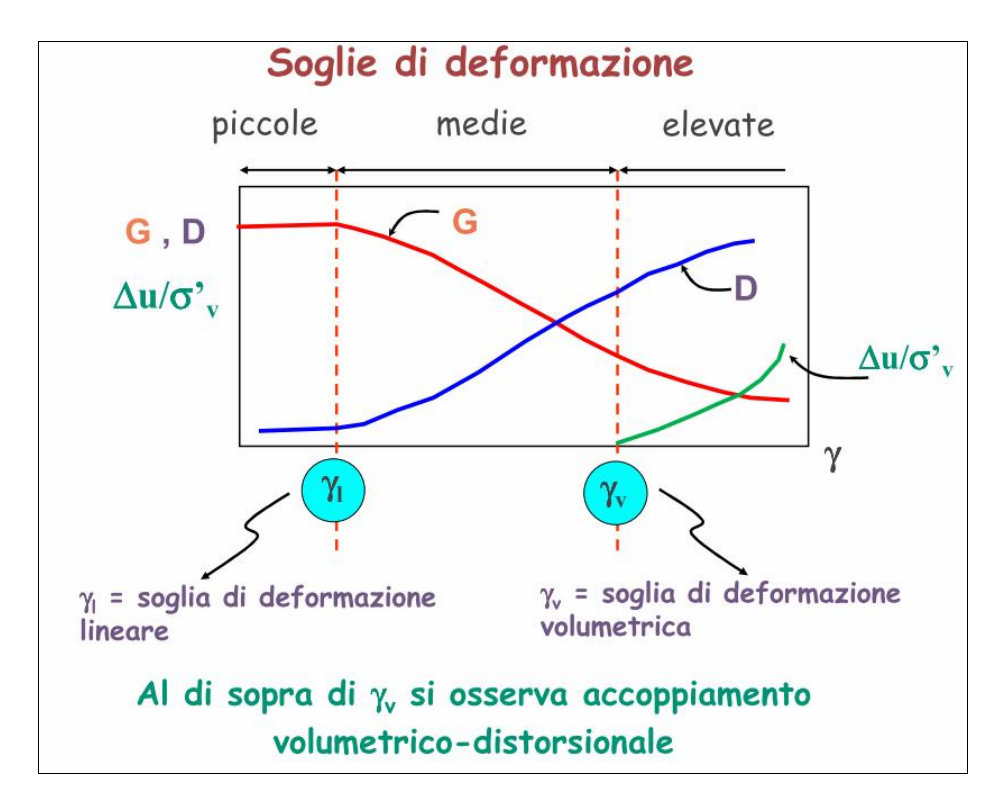
						Ymax	0,000887
a _{maxs}	r _d	σ_{v0}	σ_{v0}	σ_{v0}^{\prime}	σ_{v0}^{\prime}	y _{max}	y _{max}
		t/m ²	Мра	t/m ²	Мра		utilizzato
0,100	1	32,0	0,327	21,0	0,214016	0,000887	0,000887

STRATO 3

						Ymax	0,001391
a _{maxs}	r _d	σ_{v0}	σ _{ν 0}	σ ' ν0	σ ' ν ο	y _{max}	y _{max}
		t/m²	Мра	t/m²	Мра		utilizzato
0,100	_	40.0	0.440	00.5	0.070000	0.004004	0,00000
0,123	1	40,8	0,416	26,5	0,2/0336	0,001391	0,001391



Il valore γ_V , valore di soglia di deformazione volumetrica, al di sopra del quale si ha l'accoppiamento volumetrico-distorsionale, viene letto dalla prova di colonna risonante, sull'asse del γ al comparire della curva $\Delta u/\sigma^{\dagger}V$. Se $\gamma_{max}<\gamma_V$ si hanno spostamenti solo durante la fase sismica e non si hanno incrementi delle pressioni neutre u. Se $\gamma_{max}>\gamma_V$ durante il terremoto si verifica un incremento positivo delle pressioni neutre, con conseguenti deformazioni dei terreni coesivi soffici saturi nel tempo a seguire.



DATI INIZIALI			DATI DI PROVA				DATI FINALI		
Altezza	140.00	mm			illa limosa	,	Altezza: 1	38.42 mm	
Diametro	70.00	mm	Tipo di campione: torbosa grigio			Di	ametro: 6	9.20 mm	
Raggio eq.	24.745	mm	marrone scuro		Rag	gio eq.: 2	4.465 mm		
Massa	883.0	g					Massa: 8	864.8 g	
W	60.9	%	Fattore Ragg	io Eq.: 0.	707 -		W:	58.1 %	
γ	16.08	kN/m³	Coeffici	ente B: 0.	91 %		y: 1	6.61 kN/m ³	
Y s	9.99	-	Pression	e cella: 5	90 kPa		γ_s : 1	0.51 -	
е	1.65	-	Contropre:	ssione: 4	50 kPa		e:	1.57 -	
	Frequenza Risonanza	Momento Torcente	Def. Taglio max	Vel. Onde Taglio V _s	Modulo Taglio G	G/G ₀	Rapporto Smorz. D	$\Delta U/\sigma^3$	
	(Hz)	(Nm)	(%)	(m/s)	(MPa)		(%)		
Test 1* '	119.20	0.0002	1.22E-04	152.44	38.08	1.000	0.42	0.000	
Test 2	116.80	0.0004	2.20E-04	149.37	36.57	0.960	0.38	0.000	
Test 3	116.20	0.0008	4.35E-04	148.60	36.19	0.950	0.41	0.000	
Test 4	116.00	0.0015	8.73E-04	148.35	36.07	0.947	0.29	0.000	
Test 5	115.00	0.0030	1.79E-03	147.07	35.45	0.931	0.97	0.000	
Test 6	114.40	0.0070	4.08E-03	146.30	35.08	0.921	1.68	0.000	
Test 7	113.80	0.0190	5.13E-03	145.53	34.71	0.912	1.54	0.000	
Test 8	112.60	0.0220	8.02E-03	144.00	33.98	0.892	1.72	0.000	
Test 9	111.40	0.0300	1.21E-02	142.47	33.26	0.873	2.06	0.001	
Test 10	110.20	0.0500	2.03E-02	140.93	32.55	0.855	2.76	0.006	
Test 11	104.60	0.0999	3.74E-02	133.77	29.33	0.770	3.90	0.006	
Test 12	95.60	0.2000	6.44E-02	122.26	24.50	0.643	6.11	0.016	
Test 13	87.80	0.2998	9.14E-02	112.28	20.66	0.543	8.06	0.011	
Test 14	74.40	0.4999	1.54E-01	95.15	14.84	0.390	12.12	0.009	
Test 15	63.80	0.6997	2.53E-01	81.59	10.91	0.287	15.79	0.018	
Test 16	51.60	0.9995	4.43E-01	65.99	7.14	0.188	18.52	0.035	
Test 17	41.60	1.2998	7.84E-01	53.20	4.64	0.122	21.00	0.076	
Test 18									
Test 19									
Test 20									

Dalla prova di colonna risonante si ricava che il valore soglia di deformazione volumetrica γ_V è pari a 0,0121.

Quindi

STRATO 1
$$\gamma_{max}\!=\!6,\!79\ 10^{\text{-}4} < \gamma_{V}\!=\!1,\!21\ 10^{\text{-}2}$$

STRATO 2
$$\gamma_{max}\!=\!8,\!87\ 10^{\text{-}4} < \gamma_{V}\!=\!1,\!21\ 10^{\text{-}2}$$

STRATO 3
$$\gamma_{max} = 1,391 \ 10^{-3} < \gamma_{V} = 1,21 \ 10^{-2}$$

In tutti e tre gli strati non si hanno incrementi di sovrapressioni neutre significative per indurre cedimenti postsismici.

Il rapporto di sovrapressione interstiziale r_u non raggiunge il valore di 0,3, ovvero l'incremento delle sovrapressioni neutre non raggiunge il 30% del carico litostatico efficace alle profondità di metà strato.

$$\Gamma_{u} = \frac{\Delta u}{\sigma'_{0}} = \beta \cdot \left[\log \frac{\gamma_{\text{max}}}{\gamma_{v}} \right]$$

Non sono attesi cedimenti postsismici nei terreni coesivi soffici, cosa che si è riscontrata anche durante gli eventi del maggio 2012.

Di seguito si riportano i certificati di prova da cui si sarebbero desunti i valori da utilizzare, se vi fosse stata necessità di procedere nel calcolo delle deformazioni.

LI	MITI DI ATTE	RBERG (norma UNI	CEN ISO/TS 17892-12)
COMMITTENTE:	dott. geol. Thoma	s Veronese - via Roma 10 - 440	21 Codigoro - Ferrara
CANTIERE:	ex ENEL - via Bor	goricco, Ferrara	
CAMPIONE:	S1SH2	m 15.00 - 15.60	
COMMESSA:	14637/15	DURATA PROVE:	15 - 30/09/15
VERBALE ACC.:	388/15	DATA CONSEGNA:	15/09/15
GEO - CERT. n°:	G1507853	rev.00 del:	06/10/15

il campione è stato conservato in vasca umida termostatica

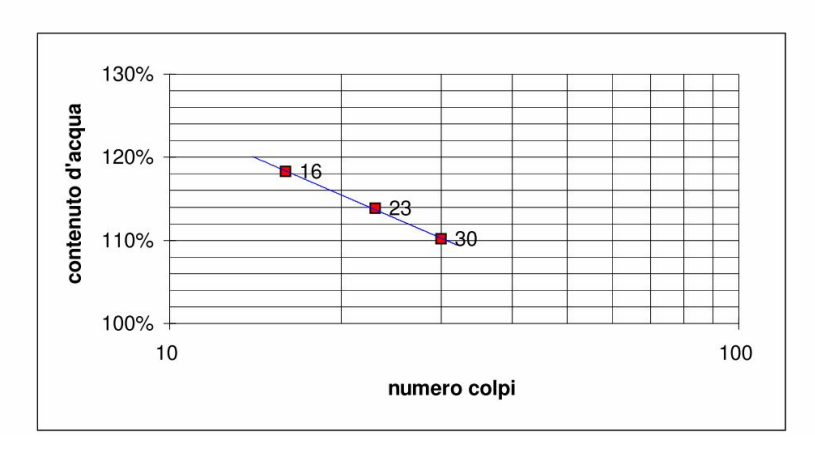
ASPETTO MACROSCOPICO DEL CAMPIONE:

Argilla limosa passante ad argilla con limo con tracce di sostanza organica e torba grigio

codice cucchiaio: 344; codice bilancia: 480.

	L	IMITE LIQUIDO	O	LIMITE P	UMIDITA'	
impasto	1	2	3	1	2	
N° colpi	16	23	30			
massa umida+ tara (g)	20.51	21.90	19.22	14.35	12.98	140.16
massa secca+ tara (g)	10.81	11.52	10.35	9.83	9.00	109.59
acqua contenuta (g)	9.70	10.38	8.87	4.52	3.98	30.57
tara (g)	2.61	2.40	2.30	2.29	2.41	2.36
peso secco (g)	8.20	9.12	8.05	7.54	6.59	107.23
contenuto d'acqua	118.3%	113.8%	110.2%	59.9%	60.4%	28.5%

Umidità Naturale	Wn =	29%		
Limite Liquido	LL =	113%		
Limite Plastico	LP =	60%		
Indice Plastico	IP =	52%		



Si riporta anche la prova di consolidazione edometrica eseguita su questi terreni coesivi "soffici".

		n	orma ASTN	1 D 2435-M	etnoa A			
COMMITTENTE:	dott. geol. Ti	nomas Veronese - vi	a Roma 10 - 4402	21 Codigoro - Fe	rrara			
CANTIERE:	ex ENEL - vi	a Borgoricco, Ferrar	а					
CAMPIONE:	S1SH2	m 15.00 - 15.60						
COMMESSA:	14637/15	DURATA PROVE	:	15 - 30/09/15				
VERBALE ACC.:	388/15	DATA CONSEGN	IA:	15/09/15				
GEO - CERT. n°:	G1507854	rev.00 del:		06/10/15				
edometro n: 8		bilancia cod. 480 - calibro cod. 570 - picnometro cod. 545						
	Dp	DH	epsilon	е	av	mv	М	
	(kPa)	(mm)	(%)		(cm²/daN)	(cm²/daN)	(daN/cm²)	
	12.3	0.004	0.02	1.608				
	24.5	0.032	0.16	1.605	0.029	0.011	34.261	
	49	0.098	0.49	1.596	0.035	0.014	28.246	
	98	0.330	1.65	1.566	0.062	0.024	16.206	
	196	0.823	4.11	1.501	0.066	0.025	15.246	
	392	2.444	12.22	1.290	0.108	0.041	9.266	
	784	4.473	22.36	1.025	0.067	0.026	14.816	
	1568	6.203	31.02	0.800	0.029	0.011	34.732	
	3136	7.549	37.75	0.624	0.011	0.004	89.318	
	784	6.902	34.51	0.708				
	196	5.943	29.72	0.834				
	49	4.996	24.98	0.957				
NAT	TURA DEL CAM	PIONE:	Argilla limosa pa	assante ad argilla	con limo con tra	acce di sostanza or	ganica e torba g	rigio
massa volumica reale			<u></u>	2.700				
massa volumica appa	arente ad inizio pr	ova (Mg/m³):		1.65			ione %	
massa volumica appa	arente a fine prova	a (Mg/m³):		2.00				100
umidità ad inizio pro	va (%):			59.80				100
umidità a fine prova (26.34			oparente	
ndice dei vuoti ad in				1.609				
Cv (cm²/s) media 2				1.16E-04				1.03
Permeabilità k (cm/s		inazioni :		3.46E-09		ad inizio prova: a fine prova:		1.58
Cimeabilità it (CIII/S	, modia o determi			5.46E-09 a line prova:				1.50
			INCREMENTO I	DI CARICO kPa				
%	10 0 + -		100		1000		10000	
В 6								
	-5 +		+	-ii-i-i-i	++++			
VERTICALE	10 +		ļ	\	i i [i			
2	1			1				
- ين ا	15 +		+		++++		H + + + ·	
5	20		+		+ + +		- + + -	
			-	1 1 1		1 1	111	
<u> </u> <u> </u> <u> </u> <u> </u>	25		+++		+ + +		L + + ·	
<u> </u> <u> </u> <u> </u>	30						L L L .	
	T T	1 1 1 1 1 1 1					1 1 1	
AR.	0.5				I	X	L L L .	
· ~	35 +		1			—	111	

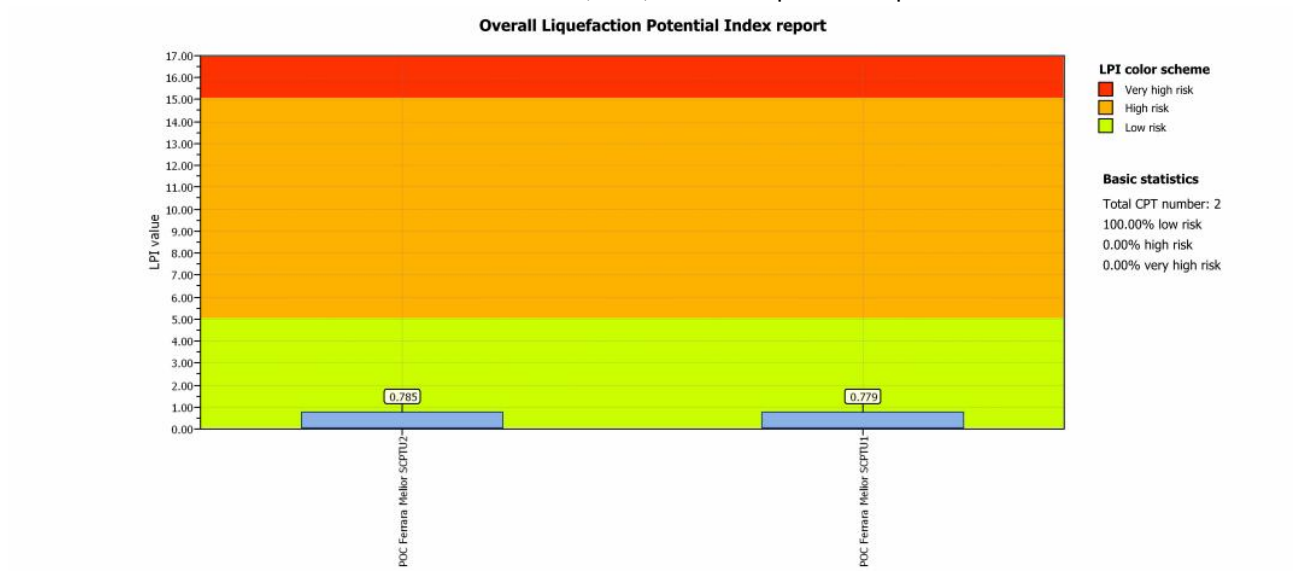
Sulla base di dati ricavati attraverso l'edometria realizzata sui campioni di terreno prelevati dal sondaggio S1, si ricava l'indice di ricompressione Cr, che si assume pari all'indice di rigonfiamento Cs:

Cs=0,184

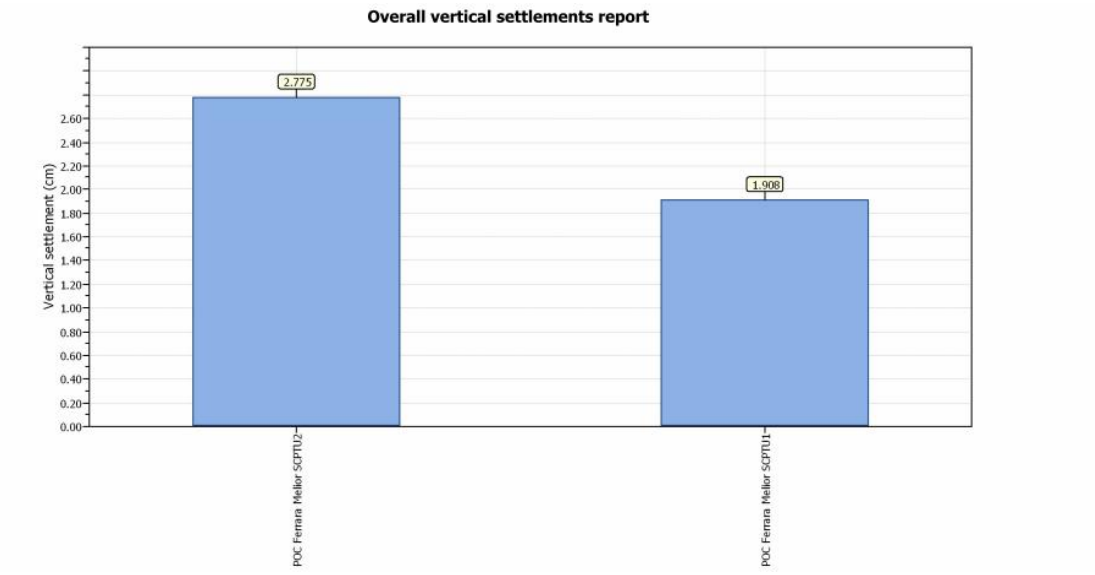
Pressione di preconsolidazione (σ'_p):					214.98 kPa
Grado di sovraconsolidazione (OCR):					1.8
con profondità falda m da p.c. =	2.00				peso di volume medio del terreno (kN/m³) = 16.54
Rapporto di compressione (CR):					0.011
Indice di compressione (Cc):					0.67
Rapporto di ricompressione (RR):					0.0003
Indice di ricompressione (Cr):					0.0204
Rapporto di rigonfiamento (SR):					0 <u>.00</u> 3
Indic di rigonfiamento (Cs):					0.184
Coeff. Cons. (Cv) tra:		392	е	784	1.33E-04 cm ² /s
Coeff. Cons. (Cv) tra:		784	е	1568	1.11E-04 cm ² /s
Coeff. Cons. (Cv) tra:		1568	е	3136	1.03E-04 cm ² /s
Coeff. Sec. (Cα) tra:		392	е	784	1.24E-02
Coeff. Sec. (Cα) tra:		784	е	1568	1.18E-02
Coeff. Sec. (Cα) tra:		1568	е	3136	1.16E-02
Permeabilià tra (kPa):		392	е	784	3.28E-09 cm/s
Permeabilià tra (kPa):		784	е	1568	4.51E-09 cm/s
Permeabilià tra (kPa):		1568	е	3136	2.60E-09 cm/s

4. CONCLUSIONI

- Si redige una integrazione sismica volontaria, conforme alla nuova D.G.R. 2193 del 2015, vigente dal 8 gennaio 2016, in sostituzione al D.A.L. 112/2007, per lo studio della mitigazione del rischio sismico dell'area oggetto di un PUA, ove sorge sorge il "Palazzo Ex Enel" sito in via Borgoricco a Ferrara (Rif. Scheda POC 1ACS08-01).
- Il sito allo studio è collocato in PIANURA 2 e per Vs30 comprese tra 175 e 225 m/s (nel nostro caso è 185 m/s per la SCPTU1 e di 199 m/s per la SCPTU2) la classificazione del DGR 2193/2015 prevede un fattore di amplificazione F.A. per la P.G.A. pari a 1,7. Le accelerazioni derivate dal D.G.R. 2193/2015, non coincidono con quelle calcolate con le N.T.C. del 2008, per via del diverso fattore di amplificazione sismica, per cui il calcolo dell'indice del potenziale di liquefazione viene rifatto secondo quanto prescritto dal nuovo decreto. Le accelerazioni secondo N.T.C. 2008 sono di circa 0,20g mentre secondo il D.G.R. 2193/2015 sono di circa 0,22g.
- Per una Magnitudo di 6,14 e una PGA pari a 0,22g, applicando il metodo di calcolo di Idriss & Boulanger (2014), usando un fattore di sicurezza alla liquefazione FL=1,2, utilizzando le teorie del taglio delle fasce di transizione, e la classificazione di Sonmez (2003), si ottiene per le due prove SCPTU:



- Il sito in esame ricade nella classe di rischio "basso". Nella relazione di modellazione geologica e geotecnica era già stato sviluppato il calcolo della liquefazione delle sabbie attraverso le accelerazioni ricavate da analisi di risposta sismica locale. Dall'analisi di risposta sismica locale ottenuta era stata ricavata direttamente la curva della CSR (sollecitazione di taglio massima indotta dal sisma) in funzione del profilo di PGA. Anche con quello studio specialistico, si era ricavato che la liquefazione non era un fenomeno atteso nel sito, ed il motivo è da ricercare nell'assenza dei caratteri predisponenti.
 - I cedimenti postsismici nei terreni granulari risultano essere di contenuta entità anch'essi:



- Il calcolo dei cedimenti post-sismici nei terreni coesivi soffici è stato realizzato secondo D.G.R. 2193 del 2015; non sono da attendersi cedimenti postsismici nei terreni coesivi soffici, in quanto lo sforzo di taglio indotto dal sisma ad ogni profondità è minore del valore soglia di deformazione volumetrica, per cui non si hanno incrementi di ∆u maggiori del 30% del carico litostatico efficace.
- E' parere dello scrivente, che il sito allo studio sia idoneo alla scelte di programmazione territoriale che prevedono la ristrutturazione di uno dei fabbricati esistenti e la demolizione-ricostruzione di un secondo fabbricato. I cedimenti postsismici calcolati con i metodi proposti dalla normativa, per il terremoto di progetto, non costituiscano un limite per tali scelte, in particolare laddove si interverrà poi con eventuali pali di fondazione ben più profondi dei primi 17m di terreni soffici. Il tema dei cedimenti in condizioni statiche per via degli edifici vicini ed in aderenza è il tema progettuale futuro di questo intervento.

Codigoro, lì 27/05/2016

Dott. Geol. Thomas Veronese